

Инженерно-физический журнал

отдельный оттиск

июль—август, том 69, № 4

МИНСК 1996

УДК 532.135:678.027

Л. М. Ульев

**НАПОРНО-РАСХОДНАЯ ХАРАКТЕРИСТИКА КРУГЛЫХ
ФОРМУЮЩИХ КАНАЛОВ ПРИ НЕИЗОТЕРМИЧЕСКОМ
ТЕЧЕНИИ РАСПЛАВОВ ТЕРМОПЛАСТИЧНЫХ ПОЛИМЕРОВ**

Приведены результаты численного исследования напорно-расходной характеристики течения высоковязких жидкостей для различной интенсивности теплообмена с окружающей средой. Обсуждается влияние немонотонности зависимости $\Delta P(V_0)$ на устойчивость работы фильтрной головки экструзионных аппаратов.

При производстве и переработке термопластичных материалов экструзионным способом расплавы полимеров продавливаются через тонкие формующие каналы – фильтры, которые для производства стринг, стержней и гранул имеют цилиндрическую форму. Поскольку расплавы полимеров – высоковязкие жидкости, то течение в фильтрах вследствие значительной диссипации энергии и резкой вязкостно-температурной зависимости происходит в условиях больших градиентов температуры и вязкости. Распределением вязкости в фильтре при различных расходах расплава и разных условиях теплообмена с окружающей средой будет определяться напорно-расходная характеристика фильтра, зная которую можно выбрать оптимальные технологические и конструктивные параметры процесса экструзии [1].

Напорно-расходные характеристики фильтр исследовались в работе [2] для жидкости Де-Хавена при различных температурах расплава, но рассматривалось только изотермическое течение. Напорно-расходные характеристики при неизотермическом течении вязких жидкостей ранее исследовались в основном для специальных случаев течения на участке стабилизированного теплообмена [3, 4] или для течения с пренебрежимо малой диссипацией [5–7]. При этом, как правило, выбирались предельные граничные условия или с заданной температурой стенки [3, 5–7], или второго рода [5]. В работах [8–11] получены характеристики для граничных условий третьего рода и в пределах начального теплового участка, но поперек канала температура считалась постоянной, что позволило авторам учесть продольный конвективный перенос тепла лишь в среднем, а поперечный конвективный перенос тепла, как и во всех указанных работах, вообще не учитывался. В работах [5–11] получены немонотонные расходно-напорные характеристики, а в [11] только для плоского канала. В [12] исследована неизотермическая зависимость $\Delta P(V_0)$ для течения нефти в круглом капилляре, при тепловых граничных условиях первого рода и течении с адиабатической стенкой. В работе учтены и диссипация энергии, и поперечный конвективный перенос. Полученная зависимость $\Delta P(V_0)$ строго монотонна, но числа Нема–Гриффита при этом на 3–4 порядка меньше, чем при течении полимеров с теми же скоростями.

В настоящей работе исследуется напорно-расходная зависимость для течения расплавов термопластичных полиуретанов (ТПУ) в круглых цилиндрических каналах при различных интенсивностях теплообмена с окружающей средой.

Расплавы kleевых марок ТПУ (Витур Т-12К и др.) в пределах изменения параметров переработки ведут себя как ньютоныевые жидкости с вязкостно-температурной зависимостью [13]:

$$\mu(T) = \mu_0 \exp\left[\frac{E}{R}\left(\frac{1}{T} - \frac{1}{T_0}\right)\right], \quad (1)$$

где $\mu \approx 10^3$ Па·с, $E \approx (10^5 \dots 3 \cdot 10^5)$ Дж/моль, $T_0 = 463^\circ$.

Для расходов, представляющих практический интерес, $Q = 10^{-5} \dots 10^{-7}$ м³/с, физических свойств расплавов $\rho \approx 1200$ кг/м³, $a \approx 10^{-7}$ м²/с и $r_0 \approx (1 \dots 3) \cdot 10^{-3}$ м число $Re \ll 10^{-2}$ и тогда длина участка механической релаксации [14]

$$l_1 \approx V_0 r_0^2 \rho / \mu \approx 10^{-6} \text{ м}, \quad (2)$$

а длина участка термической релаксации [14]

$$l_2 = V_0 r_0^2 \rho c / \lambda \approx 10 \text{ м}, \quad (3)$$

т. е. на входе в канал можем профиль скорости считать развитым и соответствующим распределению температуры.

Если жидкость поступает в канал с однородным распределением температуры, то тогда основные изменения в распределении скорости происходят на участке формирования маловязкого сдвигового слоя [14]:

$$l_3 \sim Pe \cdot G n^{-3/2} r_0 \approx 10^{-1} \text{ м}. \quad (4)$$

Характерным продольным размером является величина $L_0 = l_3$ – для течения с однородным начальным распределением температуры и $L_0 = l_2$ – для течения с предварительно образованным маловязким тепловым слоем, например, при течении в конической части фильтры [15], а характерным поперечным размером является радиус канала.

С помощью данных значений можно оценить величины производных в уравнениях конвективного теплообмена [1]: $\partial/\partial r \sim 1/r_0$; $\partial/\partial z \sim 1/L_0$.

Геометрия канала при аксиально-симметричных граничных условиях позволяет рассматривать течение как аксиально-симметричное, а (2), (3) показывают, что распределение скорости всегда будет успевать подстраиваться под распределение температуры. В этом случае уравнение неразрывности дает оценку радиальной составляющей скорости $V_r \approx V_z r_0 / L_0 = o(V_z)$, т. е. в уравнениях движения членами с V_r можно пренебречь, но в уравнении теплообмена, как показано в [15, 16], поперечным конвективным переносом пренебречь нельзя.

Сделанные предположения, оценка производных, число $Pe \approx 10^5$ и малость числа Re позволяют упростить стационарную систему уравнений гидродинамики и теплообмена [1], которую, используя безразмерные переменные и параметры:

$$\xi = \frac{r}{r_0}, \quad \chi = \frac{z}{r_0}, \quad \Pi = \frac{(P - P_0) r_0}{\mu_0 V_0}, \quad V_0 = \frac{Q}{\pi r_0^2},$$

$$\begin{aligned}\beta &= \frac{RT_0}{E}, \quad \Theta = \frac{T - T_0}{\Delta T}, \quad v = \frac{V_z}{V_0}, \\ \omega &= \frac{V_r}{V_0}, \quad m = \exp \left(-\frac{\Theta}{1 + \beta \Theta} \right), \quad \text{Gn} = \frac{\mu(T_0) V_0^2}{\lambda \Delta T}, \\ \text{Bi} &= \frac{Kr_0}{\lambda}, \quad \text{Pe} = \frac{V_0 r_0}{a}, \quad \text{Re} = \frac{\rho V_0 r_0}{\mu_0}, \\ \Delta T &= \left| \mu(T) \left/ \left(\frac{\partial \mu}{\partial T} \right) \right|_{T=T_0} = \beta T_0,\end{aligned}$$

запишем в виде

$$\frac{\partial \Pi}{\partial \chi} = \frac{1}{\xi} \frac{\partial}{\partial \xi} \left(\xi m \frac{\partial v}{\partial \xi} \right), \quad (5)$$

$$\frac{1}{\xi} \frac{\partial}{\partial \xi} (\xi \omega) + \frac{\partial v}{\partial \chi} = 0, \quad (6)$$

$$\frac{1}{\xi} \frac{\partial}{\partial \xi} (\xi \omega \Theta) + \frac{\partial}{\partial \chi} (v \Theta) = \frac{1}{\text{Pe}} \frac{1}{\xi} \frac{\partial}{\partial \xi} \left(\xi \frac{\partial \Theta}{\partial \xi} \right) + \frac{\text{Gn}}{\text{Pe}} m \left(\frac{\partial v}{\partial \xi} \right)^2, \quad (7)$$

$$0 \leq \xi < 1, \quad 0 \leq \chi \leq L/r_0.$$

Приведем граничные условия:

$$\frac{\partial \Theta}{\partial \xi} = 0, \quad \frac{\partial v}{\partial \xi} = 0, \quad \xi = 0, \quad 0 \leq \chi \leq L/r_0, \quad (8)$$

$$v = 0, \quad \omega = 0, \quad \frac{\partial \Theta}{\partial \xi} = -\text{Bi} (\Theta - \Theta_a), \quad \xi = 1, \quad 0 \leq \chi \leq L/r_0, \quad (9)$$

$$\Theta = 0, \quad \Pi = 0, \quad 0 < \xi < 1, \quad \chi = 0, \quad (10)$$

и условия постоянства расхода

$$2 \int_0^1 v \xi d\xi = 1. \quad (11)$$

Для решения поставленной задачи воспользуемся методом, разработанным в [15, 16], в котором область течения разбивается на N концентрических цилиндрических слоев и предполагается, что коэффициент вязкости в поперечном сечении каждого i -го слоя постоянен и равен m_i , взятому при средней по сечению этого слоя температуре. Благодаря такому подходу система уравнений (5)–(7) расщепляется на $3N$ уравнений, а к граничным условиям (8)–(11) добавляется еще $5(N-1)$ условий сопряжения скоростей, температур и напряжений сдвига на границах слоев. После интегрирования (5), (6) по ξ и усреднения (8) по площади поперечного сечения слоя получим систему обыкновенных дифференциальных уравнений, описывающих средние температуры в слоях и давление:

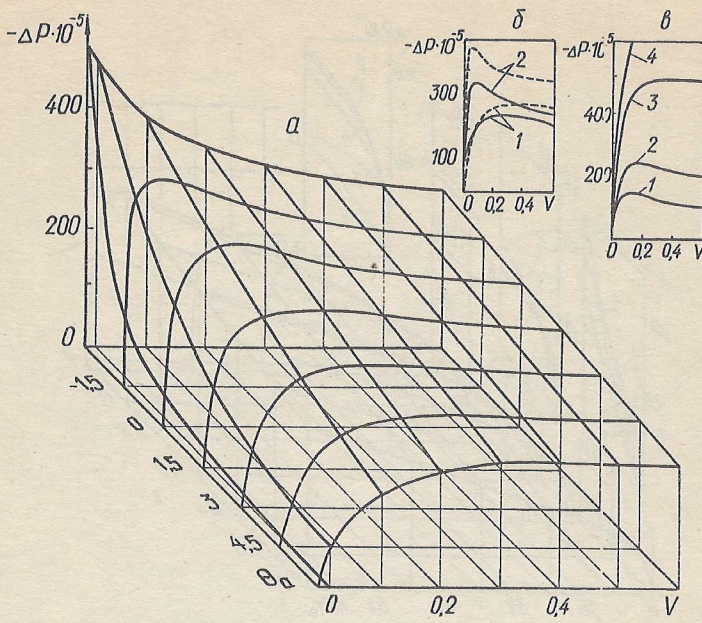


Рис. 1. Зависимость перепада давления в цилиндрическом канале: α – от средней скорости течения и температуры окружающей среды при $Bi = 3,75$; β – сплошные линии для течения с $Bi = 3,75$; штриховые с $Bi = 15$: 1 – $\Theta_a = 3$, 2 – $-1,5$; σ – течение с адиабатической стенкой: 1 – $\beta = 0,77 \cdot 10^{-3}$, 2 – $1,44 \cdot 10^{-2}$, 3 – $3,88 \cdot 10^{-2}$, 4 – $7,7 \cdot 10^{-2}$. $-\Delta P$, Па; V , м/с

$$\frac{d\bar{\Theta}_i}{d\chi} = \frac{2}{\bar{v}_i d_i} [\xi_i (\omega_i - St_i) (\bar{\Theta}_i - \bar{\Theta}_{i+1}) - (\omega_{i-1} + St_{i-1}) (\bar{\Theta}_i - \bar{\Theta}_{i-1})] + \frac{Gnm_i \left(\frac{\partial v}{\partial \xi} \right)^2}{Pe \bar{v}_i}, \quad (12)$$

$$\frac{d\Pi}{d\chi} = -8 \left(\sum_{i=1}^N \frac{\xi_i^4 - \xi_{i-1}^4}{m_i} \right)^{-1} = -8/S, \quad (13)$$

где

$$\begin{aligned} \bar{v}_i &= \frac{1}{S} \left(\frac{d_i}{m_i} + 2 \sum_{K=1}^{N-i} \frac{d_{i+K}}{m_{i+K}} \right), \quad St_1 = \frac{1}{\xi_1} \left(\frac{\xi_2^2}{d_2} \ln \frac{\xi_2}{\xi_1} - \frac{1}{2} \right)^{-1}, \quad d_i = \xi_i^2 - \xi_{i-1}^2, \\ St_i &= \frac{1}{\xi_i} \left(\frac{\xi_{i+1}^2}{d_{i+1}} \ln \frac{\xi_{i+1}}{\xi_i} - \frac{\xi_{i-1}^2}{d_i} \ln \frac{\xi_i}{\xi_{i-1}} \right)^{-1}, \quad St_N = \left(\frac{1}{2} - \frac{\xi_{N-1}^2}{d_N} \ln \frac{\xi_N}{\xi_{N-1}} + \frac{1}{Bi} \right)^{-1}, \\ \omega_i &= -\frac{1}{2\xi_i} \sum_{K=1}^i d_K \frac{d \bar{v}_K}{d \chi}. \end{aligned}$$

Здесь $i = 1, 2, \dots, N$ и тогда $\bar{\Theta}_{N+1} = \Theta_a$. Производную $d\bar{v}_i/d\chi$ находим из распределения $v_i(\xi)$:

$$v_i(\xi) = \frac{2}{S} \left(\frac{\xi_i^2 - \xi^2}{m_i} + \sum_{K=1}^{N-i} \frac{d_{i+K}}{m_{i+K}} \right), \quad (14)$$

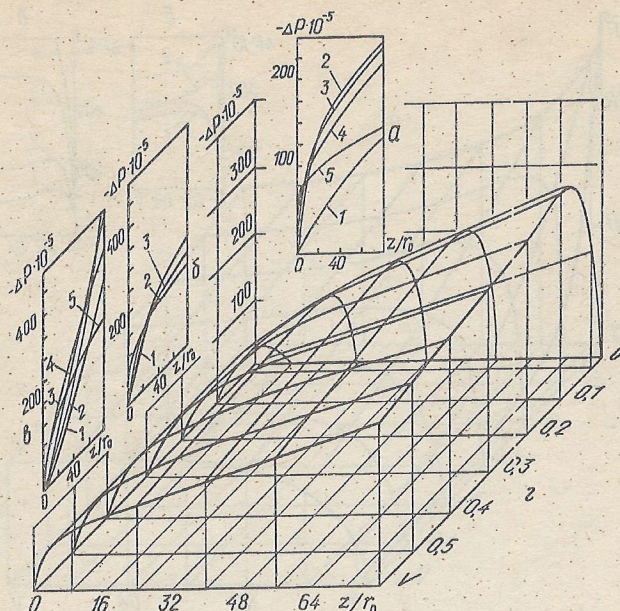


Рис. 2. Распределение давления вдоль канала: *a* – течение с адиабатической стенкой ($1 - V_0 = 1,44 \cdot 10^{-2}$ м/с, $2 - 1,44 \cdot 10^{-1}$, $3 - 2,82 \cdot 10^{-1}$, $4 - 0,52$, $5 - 3$ м/с); *б* – течение при $\Theta_a = 3$ ($1 - V_0 = 8,48 \cdot 10^{-2}$ м/с, $2 - V_0 \sim (1, 4..4) \cdot 10^{-1}$ м/с, $3 - 1,13$ м/с); *в* – течение при $\Theta_a = -3$ ($1 - V_0 = 1,13 \cdot 10^{-3}$ м/с, $2 - 4,24 \cdot 10^{-3}$ м/с, $3 - 1,41 \cdot 10^{-2}$ м/с, $4 - 8,42 \cdot 10^{-2}$, $5 - 0,71$ м/с); *г* – зависимость давления от продольной координаты и средней скорости течения для $\Theta_a = 0$

и выражения $\frac{dm_i}{d\chi} = -\frac{m_i}{1 + \beta\Theta_i} \frac{d\bar{\Theta}_i}{d\chi}, \left(\frac{dv}{d\xi}\right)^2$ также определяем из (14).

В [16] показано, что, изменяя интенсивность теплообмена на границе, можно управлять распределением температуры, скорости и давления в канале при течении высоковязких жидкостей. Исследуем, как изменяется зависимость $\Delta P(V_0)$ на участке канала с размерами $L = 0,12$ м и $r_0 = 1,5 \cdot 10^{-3}$ м для параметров $a = 8 \cdot 10^{-8}$ м²/с; $\beta = 1,44 \cdot 10^{-2}$; $Bi = 3,75$. Для этого рассмотрим ряд установившихся течений при различной средней скорости. Интенсивность теплообмена на границе будем изменять, задавая различные значения Θ_a .

В исследованном интервале значений Θ_a независимо от начального направления теплового потока, т. е. и для $\Theta_a > 0$ и для $\Theta_a < 0$, напорно-расходная функция имеет экстремальный характер (рис. 1, *a*), т. е. при превышении некоторого значения расхода гидравлическое сопротивление канала уменьшается.

Такой результат становится понятным, если рассмотреть зависимость перепада давления $\Delta P = P - P_0$ от продольной координаты. Сначала исключим влияние теплообмена на границе и рассмотрим кривую $\Delta P(V_0)$ для течения с адиабатической стенкой (рис. 1, *в*).

Для малых расходов жидкости скорость сдвига малы, диссипация незначительна и все выделившееся тепло успевает равномерно распределиться по сечению потока. И хотя температура жидкости в целом незначительно растет вдоль канала, профиль скорости мало чем отличается от параболического (см. рис. 3), что ведет лишь к малому отклонению зависимости $\Delta P(z/r_0)$ от линейной (рис. 2, *а*). При увеличении расхода такое поведение будет наблюдаться до тех пор, пока в пределах канала не образуется мало-

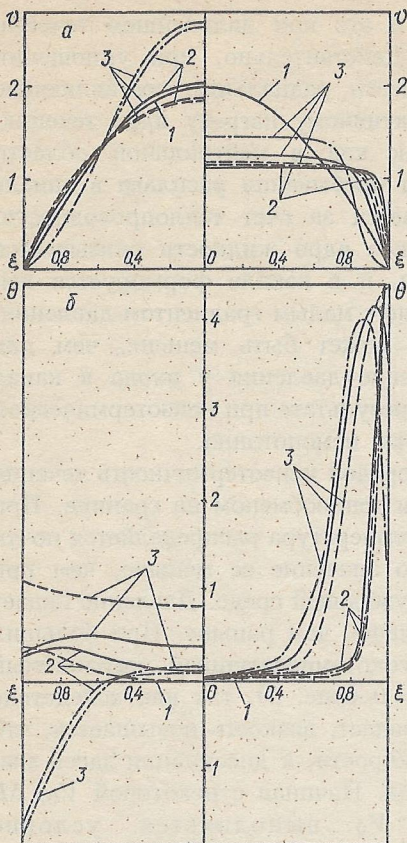


Рис. 3. Распределение: *а* – безразмерной продольной скорости, *б* – безразмерной температуры поперек канала. Левая половина – для малых скоростей $V_0 \sim 0,01$ м/с; правая – для $V_0 \sim 0,1 \dots 0,3$ м/с. Сплошные линии – $\Theta_a = 0$, штрихпунктирные – $\Theta_a = -3$, штриховые для $Bi = 0$; 1 – $\chi = 0$; 2 – 7,8; 3 – 80

вязкий пограничный слой. Возникновение такого слоя связано с тем, что с увеличением расхода на периферии течения увеличивается градиент скорости, а значит, и диссипация энергии, которая из-за малой теплопроводности полимеров не успевает релаксировать за время пребывания расплава в канале. С повышением температуры у стенки там уменьшается вязкость, профиль скорости становится более наполненным, т. е. увеличивается скорость сдвига на периферии, что ведет к локализации тепловыделения. Вместе с этим модуль градиента давления уменьшается и кривая $\Delta P(\chi)$ с появлением маловязкого слоя заметно отклоняется от линии (рис. 2, *а*). Оценить скорость, начиная с которой в канале возникает маловязкий слой, можно с помощью (4), приняв $l_3 = L$. В нашем случае $V_0 \sim 3 \dots 4$ см/с, что хорошо согласуется с результатами численного счета. Понятно, что, начиная с этой скорости, появляется значительная пелинейность и в расходно-напорной характеристике (см. рис. 1, *в*).

Именно на участке образования маловязкого пограничного слоя происходит основная перестройка профиля скорости, поэтому здесь большое значение приобретает учет поперечно-конвективного переноса теплоты. Ранее показано [16], что даже для малых скоростей отношение $q_{vr}/q_{\lambda r}$ может быть ~ 10 , а для больших V_0 , как показывает расчет, несколько десятков и пренебрежение поперечно-конвективным переносом приведет к неверному определению распределения температуры, а значит, и неправильному расчету перепада давления.

Для еще больших расходов на начальном участке течения модуль градиента давления высок, значительна и диссипация, что ведет к быстрому образованию высокотемпературного маловязкого слоя и почти прямоуголь-

угольному профилю скорости (рис. 3), а это при дальнейшем течении только усиливает описанные эффекты. Действительно, при уплощении профиля продольной составляющей скорости радиальные составляющие положительны, а это препятствует конвективному нагреву ядра течения. Диссипация там почти отсутствует, так как в центральной области $dv/dr \approx 0$ (рис. 3) и при малом времени пребывания расплава в канале эта область лишь незначительно нагревается за счет теплопроводности. Вследствие этого центральное высоковязкое ядро жидкости оказывается окруженным слоем маловязкой жидкости, и в канале формируется высокотемпературное стержнеобразное течение с малым градиентом давления. И в итоге перепад давления в канале может быть меньше, чем для течения с малыми расходами, хотя падение давления у входа в канал в первом случае больше (см. рис. 2, a). В результате при неизотермическом течении напорно-расходная характеристика немонотонна.

В случае теплообмена с окружающей средой неизотермичность течения определяется не только диссипацией, но и теплообменом на границе. При $\Theta_a = 0$ для течения с малыми скоростями температура распределяется почти равномерно поперек канала (рис. 3), но значение ее меньше, чем при $Bi = 0$, так как часть энергии отдается окружающей среде. Давление падает здесь быстрее, и ΔP на длине канала больше, чем раньше. При больших скоростях течения также образуется высокотемпературный пограничный слой, и он несколько шире, чем при $Bi = 0$ (рис. 3), так как вследствие теплообмена вблизи стенки температура падает, вязкость повышается, что приводит к более вытянутому профилю скорости, и диссипация здесь значительна на большей части сечения канала. Начиная с некоторой V_0 , ΔP уменьшается, но для любых V_0 выполняется условие $|\Delta P(\Theta_a = 0)| > |\Delta P(Bi = 0)|$ (см. рис. 2). Интересно отметить, что для коротких каналов $L < 15r_0$ напорно-расходная функция монотонно возрастающая (рис. 2, г). Для больших значений V_0 именно здесь происходит формирование маловязкого слоя и с увеличением расхода $|\nabla P|$ только увеличивается.

Для малых расходов и $\Theta_a > 0$ жидкость равномерно прогревается, поэтому давление падает медленнее, чем ранее (рис. 2, б), для больших скоростей на образование теплового слоя тратится меньше энергии, вследствие чего $|\Delta P(\Theta_a > 0)| < |\Delta P(\Theta_a = 0)| \forall V_0$ (см. рис. 1, а).

В случае $\Theta_a < 0$ расплав при малых скоростях течения охлаждается на периферии, профиль скорости вытягивается, диссипация энергии становится существенной и в центральной области. Поэтому охлаждение жидкости по сечению неравномерно (рис. 3), центральная часть даже несколько нагревается, но за счет увеличения μ на периферии $|\Delta P|$ вдоль канала растет (см. рис. 2, в) (выпуклость кривой $\Delta P(\chi)$ вниз). Для больших V_0 температура вблизи стенки значительно меньше, чем для других Θ_a (рис. 3), поэтому выполняется условие $|\Delta P(\Theta_a < 0)| > |\Delta P(\Theta_a = 0)| \forall V_0$ (см. рис. 1, а). Заметим, что с увеличением V_0 при $\Theta_a < 0$ мощность диссипации очень скоро начинает преобладать над отводом теплоты к окружающей среде, поэтому максимальное значение $|\Delta P(V_0)|$ смешается влево.

Отметим, что при малых скоростях течения зависимость $|\Delta P(\Theta_a)|$ в основном следует функции $\mu = \mu(T)$, так как диссипативные эффекты здесь несущественны, а для высокотемпературного течения $|\Delta P(\Theta_a)|$ становится практически линейной (см. рис. 1).

Интенсивность теплообмена с окружающей средой при постоянных Θ_a определяется величиной Bi . Увеличение Bi для $\Theta_a > 0$ приводит к тому, что при малых V_0 жидкость прогревается интенсивней и $|\Delta P|$ уменьшается.

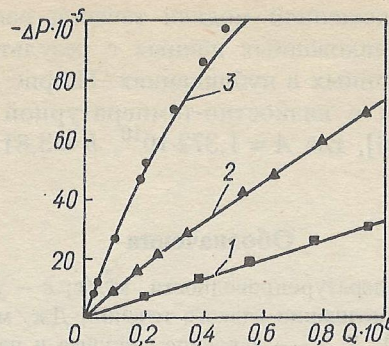


Рис. 4. Сравнение численных результатов с экспериментальными данными [12] для течения ньютоновской нефти в канале длиной $L = 4,54 \cdot 10^{-2}$ м и $r_0 = 1,3 \cdot 10^{-4}$ м. Линии – расчет, точки – экспериментальные данные: 1 – $T_0 = 363,55$ К, 2 – 336,05, 3 – 310,75. Q , $\text{м}^3/\text{с}$

Для больших скоростей вследствие диссипации температура у стенки становится больше Θ_a , поток тепла $q = Bi(\bar{\Theta}_N - \Theta_a)$ меняет знак и по абсолютной величине становится больше, чем при меньших Bi , что ведет к увеличению $|\Delta P(V_0)|$ (рис. 1, б). Понятно, что при $\Theta_a < 0$ увеличение Bi приведет только к увеличению $|\Delta P|$ для любых V_0 (рис. 1, б).

На характер зависимости $|\Delta P(V_0)|$ существенное влияние оказывает величина β . При $\beta \rightarrow \infty$ число $Gn \rightarrow 0$, т. е. интенсивность тепловыделения не влияет на динамику течения и $|\Delta P(V_0)|$ стремится к паузейлевской зависимости. С уменьшением β число Gn и зависимость μ от T увеличиваются, значение максимального $|\Delta P|$ уменьшается и достигается это давление при меньших скоростях (рис. 1, б).

Рассмотренные эффекты в процессах переработки полимеров могут приводить к неожиданным явлениям. Например, если при подводном гранулировании используется необогреваемая фильтрная доска, как правило, возникает ситуация, когда несколько десятков отверстий забивается застывшим расплавом, а через оставшиеся 1–3 отверстия без значительного изменения давления в аппарате продавливается расплав с прежним расходом.

Такая ситуация может возникнуть вследствие какого-нибудь, возможно, случайного уменьшения скорости течения в некоторых фильтрах, что приведет к увеличению времени пребывания там расплава. Он за счет теплообмена остывает больше, чем в других фильтрах, вследствие чего скорость его уменьшается и т. д., пока течение в этих отверстиях не прекратится. В то же время в других фильтрах скорость соответственно возрастает, увеличивается диссипация энергии, уменьшается $|\nabla P|$ и т. д. В итоге весь расплав будет течь через несколько отверстий, что приведет к нарушению технологического режима, и поэтому возможность возникновения данного явления необходимо учитывать при проектировании аппаратов переработки термопластов.

Чтобы избежать такого явления, можно применить обогрев фильтрных каналов. При $\Theta_a > 0$ возникает отрицательная обратная связь между характеристиками потока и теплообменом, т. е. если скорость в канале в силу каких-то причин уменьшится, это уже не приведет к увеличению вязкости, а за счет увеличения времени пребывания расплава в канале он нагреется на периферии, что приведет к восстановлению прежнего режима. Обогрев необходимо организовать для каждой фильтры отдельно, а технологические параметры устойчивой работы гранулятора можно выбрать из зависимостей, приведенных на рис. 1.

Адекватность предложенной модели течения расплавов проверялась сравнением ранее опубликованных данных с результатами, полученными нами для условий, указанных в публикациях. На рис. 4 приведены данные для течения жидкости с вязкостью-температурной зависимостью [12] $\mu = 10^6 \rho [\exp(A/T^b) - 0,6]$, где $A = 1,372 \cdot 10^{10}$, $b = 3,81$. Сравнение показывает хорошее согласие.

Обозначения

a – коэффициент температуропроводности, $\text{м}^2/\text{с}$; c – удельная теплоемкость, $\text{Дж}/(\text{кг}\cdot\text{К})$; E – энергия активации вязкого течения, $\text{Дж}/\text{моль}$; K – коэффициент теплопередачи, $\text{Вт}/(\text{м}^2\cdot\text{К})$; P , P_0 – давление: текущее и на входе в канал, Па ; R – универсальная газовая постоянная, $\text{Дж}/(\text{моль}\cdot\text{К})$; Q – расход, $\text{м}^3/\text{с}$; q_{vr} , q_{lr} – поперечно-конвективный и поперечно-кондуктивный тепловые потоки, $\text{Вт}/\text{м}^2$; r , r_0 – радиальная координата и радиус канала, м ; T , T_0 – температура расплава: текущая и на входе в канал, К ; V_0 – скорость, $\text{м}/\text{с}$; z – продольная координата, м ; λ – коэффициент теплопроводности, $\text{Вт}/(\text{м}\cdot\text{К})$; μ – динамический коэффициент вязкости, $\text{Па}\cdot\text{с}$; ρ – плотность, $\text{кг}/\text{м}^3$; Bi – число Био; Gn – число Нема – Гриффита; Pe – число Пекле; Re – число Рейнольдса; St_i – число Стентона для i -того слоя. Индексы: a – окружающая среда; i – номер слоя; r , z – радиальная и продольная составляющие вектора.

Литература

1. Тадмор З., Гогос К. Теоретические основы переработки полимеров. М., 1984.
2. Первадчук В. И., Глот И. О., Янков В. И., Мальков Л. Б. // Хим. волокна. 1985. № 3. С. 36–37.
3. Бостанджян С. А., Мержанов А. Г., Худяев С. И. // Докл. АН СССР. 1965. № 1. С. 133.
4. Бендерская С. Л., Хусид Б. М., Шульман З. П. // Изв. АН СССР. МЖГ. 1980. № 3. С. 3–10.
5. Найденов В. И., Бренер А. М., Дильтман В. В., Максимов А. А. // Современные проблемы тепло- и массообмена в химической технологии. (Материалы междунар. школы-семинара). Ч. 3. Минск. 1987. С. 116–123.
6. Найденов В. И. // ТВТ. 1986. Т. 24, № 1. С. 82–88.
7. Найденов В. И., Бренер А. М., Дильтман В. В. // ТОХТ. 1989. Т. 23, № 3. С. 300–308.
8. Мержанов А. Г., Столин А. М. // ПМТФ. 1974. № 1. С. 65–74.
9. Малкин А. Я., Чалых А. Е. Диффузия и вязкость полимеров. Методы измерения. М., 1979.
10. Александровский Н. Б., Найденов В. И. // ТВТ. 1979. Т. 17, № 4. С. 783–791.
11. Shah Y. T., Pearson J. R. A. // Chem. Engng. Sci. 1974. Vol. 29, № 6. P. 1485–1493.
12. Duda J. L., Klaus E. E., Lin S. C. // Ind. Eng. Chem. Res. 1988. Vol. 27, № 2. P. 352–361.
13. Пономаренко В. Г., Потебня Г. Ф., Ульев Л. М. и др. // ИФЖ. 1990. Т. 59, № 1. Деп. в ВИНИТИ 05.03.90. № 1224-B90.
14. Ockendon H. // J. Fluid Mech. 1979. Vol. 93. Pt. 4. P. 737–746.
15. Ульев Л. М. // ТОХТ. 1992. Т. 26, № 2. С. 243–253.
16. Пономаренко В. Г., Потебня Г. Ф., Ульев Л. М. // Пром. теплотехника. 1985. Т. 7, № 1. С. 9–16.